

## ОБЩАЯ ЭКСПЕРИМЕНТАЛЬНАЯ ТЕХНИКА

УДК 621.386.8

# РЕНТГЕНОВСКИЙ ЭШЕЛОН-МОНОХРОМАТОР ИЗ ПИРОЛИТИЧЕСКОГО ГРАФИТА

© 1998 г. А. Г. Турьянский, И. В. Пиршин

Физический институт им. П.Н. Лебедева РАН  
Россия, 117924, Москва, В-333, Ленинский просп., 53

Поступила в редакцию 27.02.98 г.

Описана конструкция рентгеновского эшелон-монохроматора на основе полупрозрачных пластин пиролитического графита. Приведены результаты сравнительных измерений стандартных монохроматоров из пирографита толщиной 0.5–1 мм, полупрозрачных пластин толщиной 46–180 мкм и эшелон-монохроматора из трех полупрозрачных пластин. По сравнению с лучшим стандартным монохроматором достигнуто увеличение пикового и интегрального коэффициентов отражения на 55% и 13% соответственно. Показана возможность регулирования спектральной полосы.

Монохроматоры из пиролитического графита широко используются при рентгеновских измерениях с энергией излучения  $> 5$  кэВ. Это обусловлено рекордно высоким интегральным коэффициентом отражения пирографита  $R_s$  [1], возможностью нанесения пирографита на поверхность заданной формы [2, 3], а также снижением трудоемкости юстировки благодаря более низкой требуемой точности настройки такого монохроматора по углу, чем кристалл-монохроматоров из Si, Ge и кварца. Однако пиковый коэффициент отражения  $R_m$ , определяемый как отношение полной интенсивности дифракционно отраженного излучения к интенсивности падающего квазипараллельного монохроматического пучка, у пирографита меньше, чем у совершенных кристаллов Si и многослойных рентгеновских зеркал [4, 5], для которых  $R_m > 0.7$ . Кроме того, монолитные пластины пирографита, как и другие кристаллические монохроматоры, имеют фиксированную полосу пропускания, которую можно изменять только сменой монохроматора.

В данной работе предлагается заменить толстую монолитную пластину монохроматора последовательным рядом полупрозрачных пластин, для которых  $(\mu_a + \mu_e)L < 1$ , где  $\mu_a$  – линейный коэффициент ослабления,  $\mu_e$  – коэффициент экстинкции,  $L$  – длина пути излучения в материале. Как будет показано ниже, для мозаичных образцов пирографита с угловым разворотом блоков мозаики  $< 0.6^\circ$  в дифракционном положении коэффициент  $\mu_e$  по порядку величины сравним с  $\mu_a$ . При пространственном разнесении пластин вдоль пучка на расстояние, обеспечивающее свободный выход дифрагированного излучения, одновременно снижается влияние двух негативных факторов: ослабления, обусловленного рассеянием и фотопоглощением, а также дифракционного эк-

рессирования предшествующими слоями монохроматора. Поэтому при использовании эшелона из полупрозрачных пластин следует ожидать значительного увеличения отражательной способности по сравнению с монолитной структурой.

В качестве исходного материала и контрольных образцов использовались пластины пиролитического графита толщиной 0.5 и 1 мм производства НИИ "Графит", поставляемые в качестве монохроматоров для рентгеновских дифрактометров. Из пластин вырезались образцы площадью 0.6–0.9 см<sup>2</sup> и толщиной  $d$ , равной 46–180 мкм. Приведенные здесь и далее значения  $d$  получены из измерений ослабления рентгеновского пучка при прохождении его под заданным углом к поверхности образца для табличных значений плотности 2.23 г/см<sup>3</sup> и массового коэффициента ослабления пиролитического графита 4.67 см<sup>2</sup>/г. Измерения толщины механическим индикатором для всех пластин давали завышенные на 10–20 мкм значения, что, скорее всего, обусловлено неровностью их поверхности.

Измерительная схема на базе рентгеновского дифрактометра ДРОН-3 показана на рис. 1. Излучение рентгеновской трубки 1 с медным анодом монохроматизировалось монокристаллом 2 Si (111). Характеристическая линия CuK<sub>α1</sub> из дифракционно отраженного пучка вырезалась вертикальной щелью 3 шириной 0.05 мкм. Пучок дополнительно ограничивался по вертикали горизонтальной щелью 4 шириной 3 мм. Первая 8 и третья 10 по ходу рентгеновского пучка пластины пирографита устанавливались на поворотных втулках 5, 7, закрепленных на головках для ориентации монокристаллов. С помощью головок образцы перемещались вдоль пучка и перпендикулярно ему, а также поворачивались в плоскости, перпендикулярной пучку. Поворотом втулок вокруг осей  $O_2$

и  $O_4$ , совмещенных при юстировке с плоскостью рентгеновского пучка, проводилась независимая настройка пластин 8 и 10 на угол дифракции. Вторая по ходу рентгеновского пучка пластина 9 устанавливалась в стандартный держатель 6 плоских образцов, совмещенный с главной осью  $O_3$  гoniометра ГУР-8. Расстояние от оси  $O_3$  до щели 11 составляло 190 мм, осевые расстояния  $O_2-O_3$ ,  $O_3-O_4$  – 35 мм.

Перед установкой пластин в ряд согласно схеме, изображенной на рис. 1, проводились следующие измерения отдельных образцов пирографита.

1. Детектор 12 устанавливался по оси прямого пучка и измерялась интенсивность излучения  $I_0$ . Затем в центральный держатель 6 поочередно помещались пластины пирографита, которые разворачивались на углы  $\Theta_1 = 15^\circ$  и  $\Theta_2 = 30^\circ$ , и в этих положениях измерялись интенсивности  $I_1$  и  $I_2$  прошедшего через образец излучения. Ширина рентгеновского пучка вблизи оси  $O_3$  составляла  $<100$  мкм. При развороте используемых нами образцов шириной  $b$ , равной 6–8 мм, на угол  $\Theta > 10^\circ$  их размеры в направлении падающего излучения составляли  $b \sin \Theta > 1$  мм, т.е. образцы полностью перекрывали прямой пучок. По результатам измерения ослабления при углах  $\Theta_1$  и  $\Theta_2$  определялась толщина  $d$  пластин (см. таблицу).

2. В положении детектора на оси прямого пучка качанием образцов вблизи брэгговского угла  $\Theta_B$  находилось угловое положение, при котором наблюдался минимум интенсивности прошедшего пучка, т.е. экстинкция в результате дифракции была максимальна. В диапазоне углов [ $\Theta_B - 2^\circ$ ,  $\Theta_B + 2^\circ$ ] при фиксированном положении детектора регистрировались угловые зависимости интенсивности пропускания  $I^R(\Theta)$  (рис. 2). По полученным данным определялись угловая полуширина кривой пропускания  $\Delta\omega_T$  (см. таблицу) и путем нормировки – угловая зависимость коэффициента пропускания  $T(\Theta)$  и  $T_{min}$ . Как видно из сравнения относительного изменения интенсивности

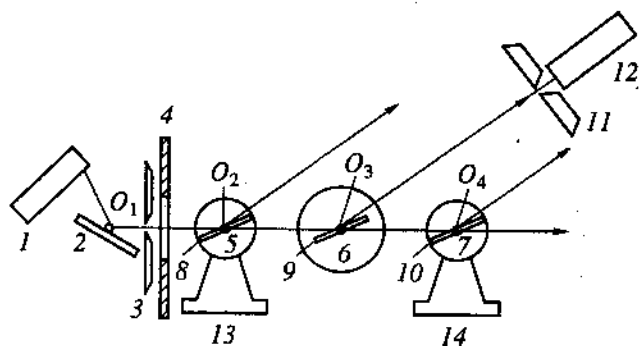


Рис. 1. Схема измерений: 1 – рентгеновская трубка, 2 – кристалл-монохроматор, 3, 11 – вертикальные щели, 4 – горизонтальная щель, 5, 7 – поворотные втулки, 6 – стандартный держатель, 8–10 – пластины пирографита, 12 – детектор, 13, 14 – головки для ориентации монокристаллов.

(рис. 2) и величин  $T_{min}$ , в результате экстинкции ослабление вблизи брэгговского угла возрастает приблизительно вдвое.

3. Детектор 12 устанавливался в максимум дифракционного отражения (0002). При фиксированном положении детектора, ограниченного щелью 11 шириной 1 мм, проводилась запись интенсивности отражения  $I^R(\Theta)$  при измерении  $\Theta$  в диапазоне [ $\Theta_B - 2^\circ$ ,  $\Theta_B + 2^\circ$ ]. После этого образец снимался, и проводилось контрольное измерение интенсивности прямого пучка  $I_0$ . По полученным данным определялись интегральный коэффициент отражения  $R_s$ , пиковый коэффициент отражения  $R_m$ , полуширина  $\Delta\omega_R$  и – после нормировки – угловые зависимости коэффициента отражения  $R(\Theta)$ . Эти измерения проводились как для полупрозрачных пластин, так и для контрольных образцов толщиной 0.5 и 1 мм (см. таблицу). Угловые положения, при которых наблюдался минимум пропускания и максимум отражения полупрозрачных пластин, совпадали.

#### Характеристики монохроматоров из пирографита

Образец	$d$ , мкм	$R_s \cdot 10^5$	$R_m$	$T_{min}$	$\Delta\omega_P$ , град	$\Delta\omega_T$ , град
Контрольный	1000	474	0.31	–	0.8	–
Контрольный	500	461	0.26	–	0.85	–
Контрольный	1000	527	0.28	–	1.05	–
Пластина 1	76	290	0.29	0.46	0.56	0.56
Пластина 2	46	204	0.22	0.60	0.50	0.50
Пластина 3	71	300	0.28	0.47	0.57	0.56
Пластина 4	180	370	0.25	0.26	0.82	0.92
Эшелон ( $P$ )	193	541	0.47	0.13	0.61	–
Эшелон ( $N$ )	193	595	0.35	0.23	0.92	–

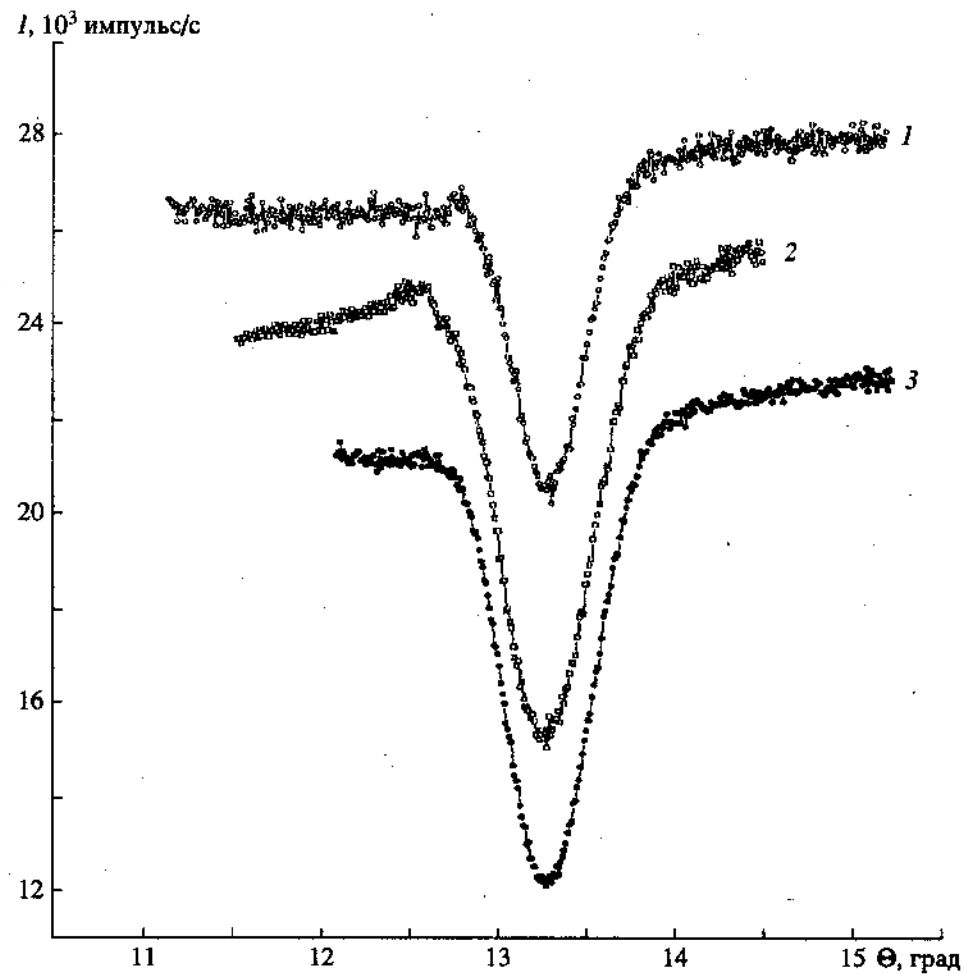


Рис. 2. Угловые зависимости интенсивности пропускания отдельных пластин эшелон-монохроматора при  $\Theta$ -качании ( $2\Theta = 0 = \text{const}$ ): 1 – пластины 8 (см. рис. 1); 2 – пластины 9; 3 – пластины 10.

Для установки в эшелон-монохроматор выбирались пластины с наибольшим отношением  $R_m/(1 - T)$ . Для юстировки эшелона детектор 12 устанавливался по оси прямого пучка. Пластины 8–10 помещались соответственно в держатели 5–7 и настраивались последовательно. При этом сначала каждая пластина пирографита устанавливалась параллельно пучку и перемещалась перпендикулярно ему до максимального ослабления сигнала, вызванного перекрытием прямого пучка. Затем вращением вокруг осей  $O_2$ – $O_4$  находилось угловое положение, при котором обеспечивался минимум коэффициента пропускания, что соответствует максимуму коэффициента отражения (см. выше). После этого проводилось угловое сканирование детектором 12 в диапазоне углов  $2\Theta$  от  $-2^\circ$  до  $+32^\circ$  (рис. 3). Наблюдаемое на диаграмме угловое смещение  $2\Delta\Theta$  дифракционных пиков обусловлено линейным сдвигом  $s$  в противоположные стороны осей вращения первой и третьей пластин эшелона относительно оси вра-

щения детектора. Для геометрии измерения согласно рис. 1 имеем следующую зависимость:

$$2\Delta\Theta = \arctg [s \sin 2\Theta / \sqrt{R^2 - (s \sin 2\Theta)^2}]. \quad (1)$$

В нашей установке  $s = 35$  мм,  $R = 190$  мм и отсюда  $\Delta_i(2\Theta) = -\Delta_d(2\Theta) = 4.7^\circ$ , что и наблюдается на угловой диаграмме. Линейное смещение приводит также к изменению угла падения излучения на детектор на эту же величину, однако из-за малости изменения угла увеличением ослабления в бериллиевом окне детектора можно пренебречь.

По окончании сканирования проводилось контрольное измерение интенсивности прямого пучка  $I_0$ . Пиковый коэффициент отражения эшелона  $R_m$  определялся как  $(I_{m1} + I_{m2} + I_{m3})/I_0$ , где  $I_{m1}$ ,  $I_{m2}$ ,  $I_{m3}$  – максимумы интенсивности на угловой диаграмме сканирования. Оси вращения  $O_2$ ,  $O_4$  не были связаны с электромеханическим приводом, что не позволило измерить интегральную интенсивность отражения эшелона при синхронном

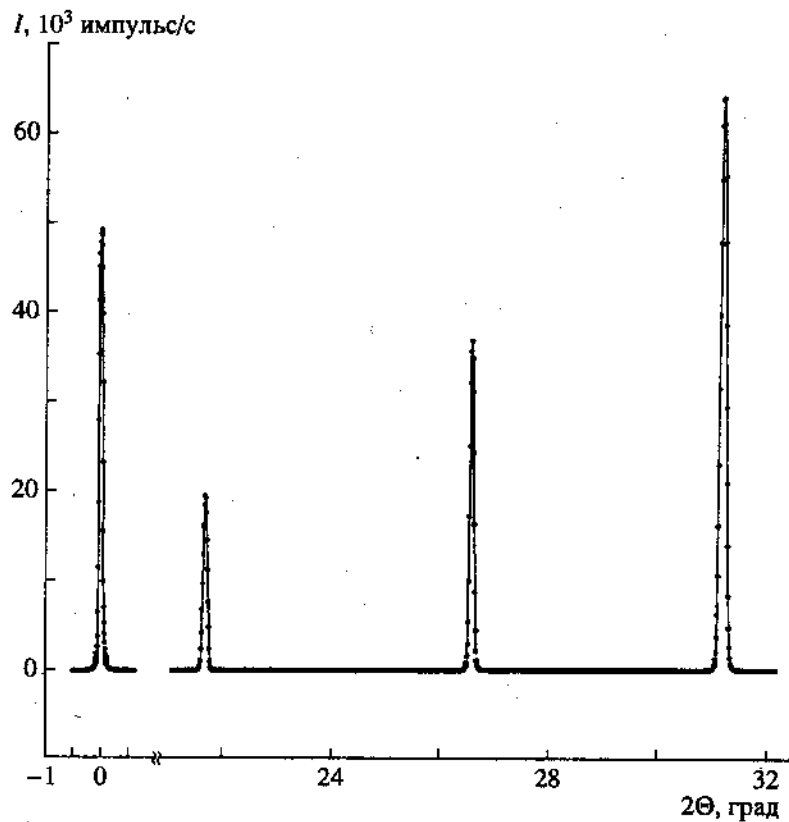


Рис. 3. Угловая зависимость интенсивности отражения и пропускания эшелон-монохроматором при  $2\Theta$ -сканировании детектором ( $\Theta = 13.2^\circ = \text{const}$ ).

вращении пластин. По полученным данным уширение углового профиля пучка при его прохождении через образец толщиной  $<100$  мкм составило  $0.003^\circ$ , т.е. преубежимо мало по сравнению с полуширинами  $\Delta\omega_R$  и  $\Delta\omega_T$  кривых качания при  $2\Theta = \text{const}$  (см. таблицу). Это означает, что величина  $R_s$  и угловые зависимости коэффициента отражения эшелона  $R^e(\Theta)$  можно рассчитать из экспериментальных кривых отражения и пропускания каждой отдельной пластины. В общем случае для эшелона из  $n$  пластин можно записать

$$R_s = \int_{\Phi_1}^{\Phi_2} R(\Theta) d\Theta = \int_{\Phi_1}^{\Phi_2} [R_1(\Theta + \Delta\phi_i) + \\ + \sum_{i=2}^n R_i(\Theta + \Delta\phi_i) \prod_{j=2}^i T_{j-1}(\Theta + \Delta\phi_j)] d\Theta, \quad (2)$$

где  $T_i(\Theta + \Delta\phi_i)$  и  $R_i(\Theta + \Delta\phi_i)$  – соответственно коэффициенты пропускания и отражения  $i$ -й пластины;  $\Delta\phi_i$  – угол отклонения  $i$ -й пластины от текущего угла качания  $\Theta$ ;  $[\Phi_1, \Phi_2]$  – диапазон согласованного углового качания пластины эшелона ( $\Phi_1 < \Theta_B < \Phi_2$ ).

В качестве текущего угла удобно выбрать угол поворота первой (входной) пластины эшело-

на. Тогда  $\Phi_1 = 0$ , а остальные углы  $\Phi_i$  можно рассматривать как углы разворота пластин эшелона относительно входной пластины. В качестве примера на рис. 4 показаны измеренная зависимость  $R(\Theta)$  для центральной пластины эшелона (кривая 1) и расчетные зависимости для эшелона из трех пластин при нулевых углах разворота (параллельная ориентация) и при развороте второй и третьей пластины соответственно на  $0.35^\circ$  и  $-0.35^\circ$  относительно первой (кривые 2 и 3). Соответствующие указанным ориентациям параметры эшелона помечены в таблице буквами  $P$  и  $N$ . Как видно из приведенных данных, при развороте пластин полуширина кривой  $R(\Theta)$  и, следовательно, полоса пропускания в отраженном излучении увеличиваются. При этом, несмотря на уменьшение  $R_m$ , значительно возрастает  $R_s$ , поскольку ослабление излучения за счет экстинкции резко падает. По той же причине в непараллельной ориентации коэффициент пропускания эшелона увеличивается вдвое.

Как видно из таблицы, при оптимальной настройке эшелон-монохроматор по пиковому и интегральному коэффициентам отражения превосходит стандартные промышленные образцы массивного пирографита. Однако при этом монохроматизированное излучение разделяется на несколько пучков.

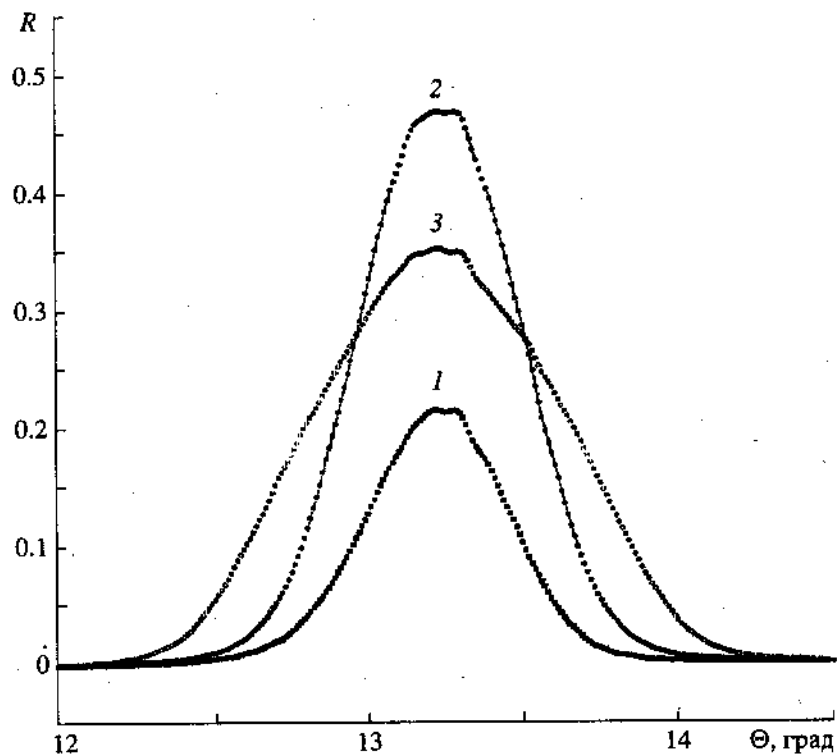


Рис. 4. Угловые зависимости коэффициента отражения при  $\Theta$ -качании: 1 – центральной пластины эшелон-монохроматора; 2 – эшелон-монохроматора при взаимно параллельном расположении пластин пирографита; 3 – эшелон-монохроматора при фиксированном повороте второй и третьей пластины относительно первой соответственно на  $0.35^\circ$  и  $-0.35^\circ$ .

Заметим, что минимальное допустимое значение расстояний  $O_2-O_3$  и  $O_3-O_4$  между поворотными осями эшелона при сохранении возможности поворота на  $360^\circ$  равно ширине  $b$  пластины. Для наиболее часто используемого излучения  $CuK_\alpha$  при  $b = 6$  мм смещение крайних пучков относительно центрального составляет 2.7 мм. Диаметр входного окна большинства детекторов  $> 10$  мм (например, у БДС-7 он равен 16 мм), поэтому, несмотря на расщепление, монохроматизированный эшелоном пучок может направляться через многоштевьевую диафрагму на один детектор.

Предложенный эшелон-монохроматор наиболее эффективен в рентгеновских рефлектометрах и малоугловых камерах. В позиции кристалла-анализатора его можно использовать в рентгеновских дифрактометрах при фазовом анализе. Возможности использования других свойств эшело-

на (разделение спектральных линий и регулировка рабочей полосы спектра) будут подробнее рассмотрены в следующей публикации.

#### СПИСОК ЛИТЕРАТУРЫ

1. Freund A.K., Munkholm A., Brennan S. // Proc. SPIE. Int. Soc. Opt. Eng. 1996. V. 2856. P. 69.
2. Antonov A.A., Baryshev V.B., Grigoryeva I.G., et al. // Nucl. Instrum. and Methods. 1991. V. A308. P. 442.
3. Beckhoff B., Kanningisser B., Malzer W. // Proc. SPIE. Int. Soc. Opt. Eng. 1996. V. 2859. P. 190.
4. Вазина А.А., Герасимов В.С., Коган М.Т. и др. // Аппаратура и методы рентгеновского анализа. 1981. Вып. 26. С. 3.
5. Барби Т. мл. Рентгеновская оптика и микроскопия / Под ред. Г. Шмайля, Д. Рудольфа. М.: Мир. 1987. С. 204.